



***X Всероссийский съезд по фундаментальным проблемам  
теоретической и прикладной механики***

24-30 августа 2011, Нижний Новгород, Россия

# ***УСТОЙЧИВОСТЬ СДВИГОВЫХ ТЕЧЕНИЙ ДИСПЕРСНЫХ СРЕД***

С.А. Боронин

НИИ механики МГУ им. М.В. Ломоносова, Москва

[boroninsa@imec.msu.ru](mailto:boroninsa@imec.msu.ru)



# Мотивация

- Исследования устойчивости течений двухфазных сред проводились ранее в рамках упрощенной постановки Сэфмана
  - Стоксовское взаимодействие фаз;
  - Пренебрежимо малая объемная доля включений;
  - Равномерное распределение дисперсной фазы в основном течении.
- Для описания реальных течений дисперсных сред необходимо учитывать дополнительные факторы
  - Неоднородность распределения дисперсной фазы (миграция частиц)
  - Нестоксовские компоненты межфазной силы (напр., подъемная сила)
  - Рассогласование скоростей фаз в основном течении (гравитационное осаждение частиц)
  - Конечную объемную доли частиц (суспензии)
- Исследование устойчивости проводилось только в рамках модального подхода (на основе анализа одной наиболее неустойчивой моды)
- Отсутствие экспериментальных данных

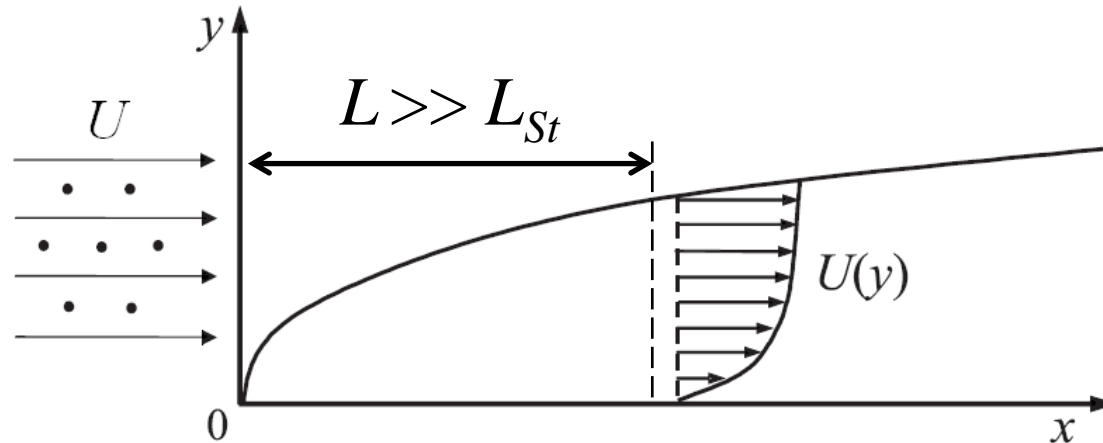


# Содержание доклада

- Устойчивость течения запыленного газа на плоской пластине  
(влияние неоднородности распределения дисперсной фазы в основном течении и подъемной силы Сэфмана)
- Устойчивость течения запыленного газа в вертикальном канале  
(влияние рассогласования скоростей фаз)
- Устойчивость сдвиговых течений суспензии  
(влияние конечной объемной доли включений и их неоднородного распределения)
- Алгебраическая неустойчивость течения запыленного газа в плоском канале  
(немодальный анализ устойчивости течений дисперсной среды, оптимальные возмущения)



# Устойчивость течения запыленного газа в пограничном слое с неоднородным распределением частиц<sup>1</sup>



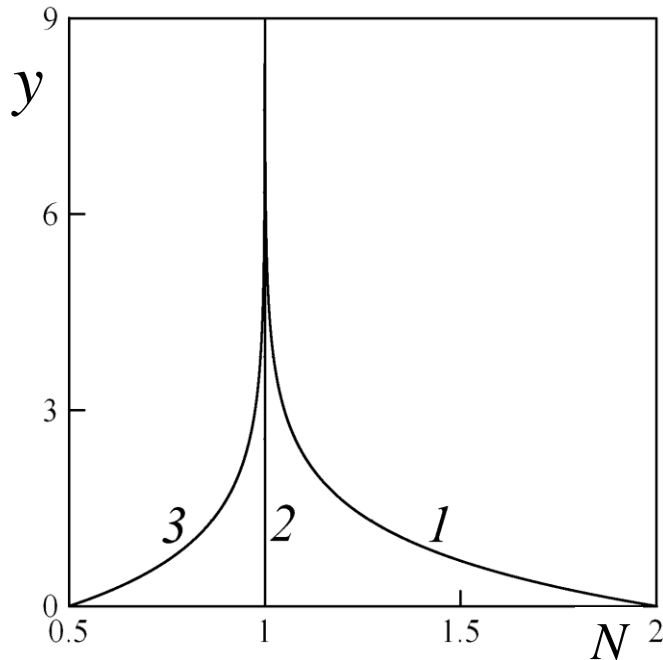
Течение запыленного газа в равновесной по скоростям области пограничного слоя

- Модель запыленного газа с малой объемной долей частиц
- Межфазное взаимодействие: силы Стокса и Сэфмана
- Основное течение: профиль скорости Блазиуса, неоднородная концентрация частиц

<sup>1</sup> Боронин С.А., Осипцов А. Н. Устойчивость течения дисперсной смеси в пограничном слое // Изв. РАН. МЖГ. 2008. № 1. С. 76–87



# Устойчивость течения запыленного газа в пограничном слое: профили концентрации частиц и определяющие параметры



Профили концентрации частиц  
в основном течении

1.  $N(y) = 1 + \exp\{-y\}$ ;
2.  $N(y) = 1$ ;
3.  $N(y) = 1 - 0.5\exp\{-y\}$ ;

## Масштабы течения:

$$U = U(\infty), N = N(\infty),$$

$\delta = \delta(L)$  – локальная толщина  
пограничного слоя

$$Re = \frac{\delta U_0}{\nu}, \quad \alpha = \frac{mN}{\rho}, \quad \beta = \frac{6\pi\mu\delta}{mU_0}, \quad K = \frac{6.46\sigma^2(\delta\mu\rho)^{1/2}}{m(U)^{1/2}} = \frac{6.46}{2\pi\sqrt{2}} \sqrt{\beta} \sqrt{\frac{\rho^0}{\rho_s}}$$

## Определяющие параметры:

Re – число Рейнольдса

$\alpha$  – массовая концентрация частиц

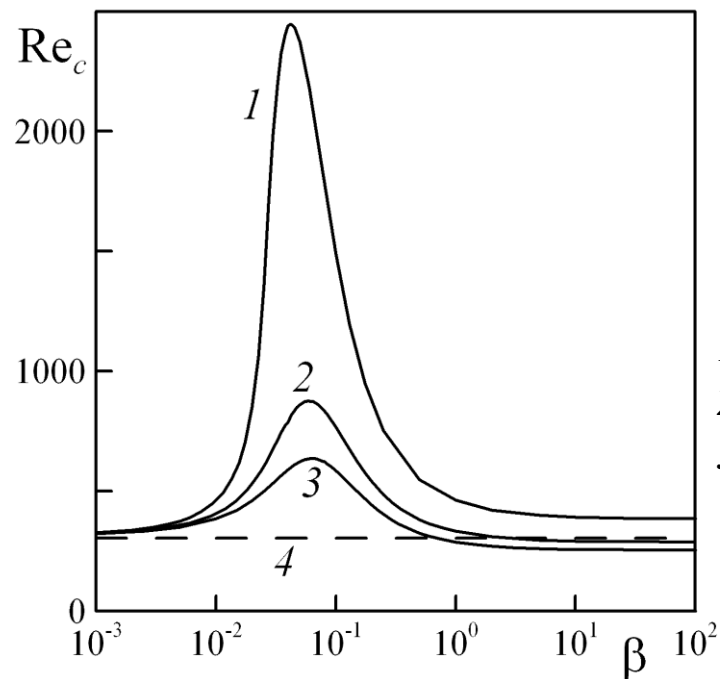
$\beta$  – параметр инерционности частиц

K – масштаб подъемной силы

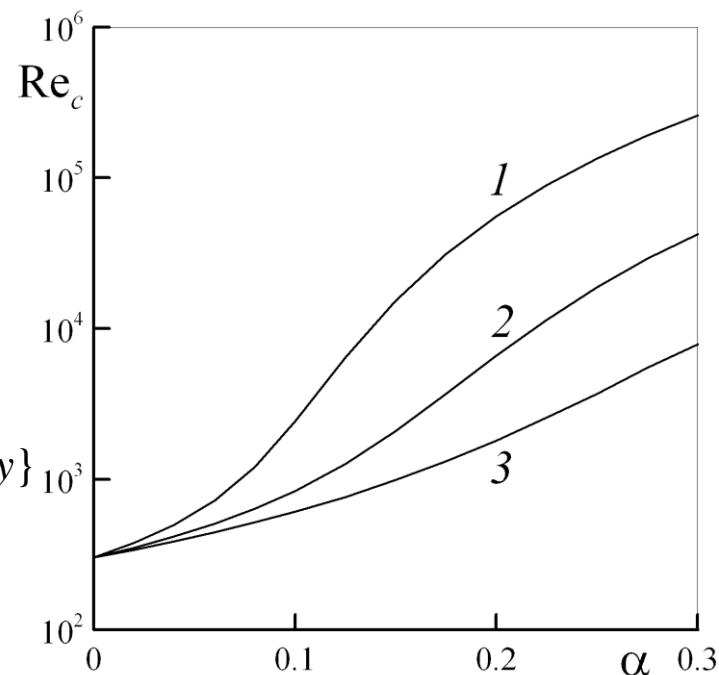


# Устойчивость течения запыленного газа в пограничном слое: основные результаты

Зависимость критического числа Рейнольдса  $Re_c$  от параметра инерционности частиц  $\beta$



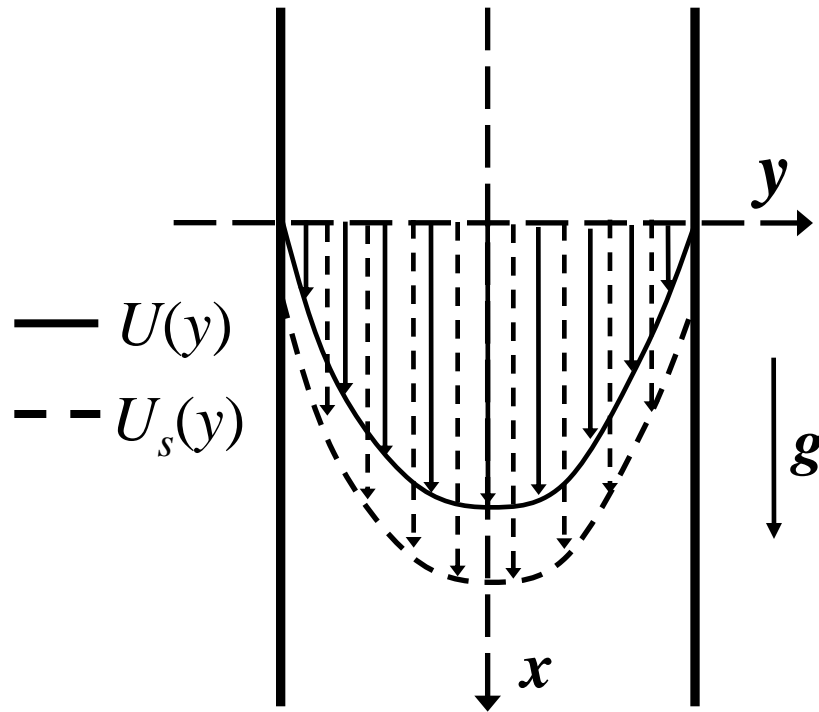
Зависимость критического числа Рейнольдса  $Re_c$  от массовой концентрации включений  $\alpha$ .



- Течение наиболее устойчиво в случае увеличивающейся по направлению к стенке концентрации частиц (кривая 1)
- Подъемная сила значительно стабилизирует для частиц с длиной релаксации порядка локальной толщины пограничного слоя ( $\beta \sim 1$ )
- Течение стабилизируется при увеличении массовой доли включений  $\alpha$



# Устойчивость течения запыленного газа в вертикальном канале с учетом рассогласования скоростей фаз в основном течении<sup>2</sup>



- ❑ Модель запыленного газа
- ❑ Межфазное взаимодействие: сила Стокса
- ❑ Основное течение: профиль скорости Пуазейля для несущей фазы, **скорость частиц отличается на скорость осаждения одиночной частицы**

Течение запыленного газа в вертикальном канале

<sup>2</sup> Боронин С.А. Устойчивость восходящего и нисходящего течений запыленного газа в канале с учетом силы тяжести // В сб.: Труды конференции-конкурса молодых ученых. Октябрь 2006г. Под ред. Черного Г.Г., Самсонова В.А. М.: Изд-во Моск. ун-та, 2007. С. 79–86.



# Устойчивость течения запыленного газа в вертикальном канале: безразмерные параметры и основное течение

## Масштабы течения:

$U_0 = U(0)$ ,  $L$  – половина ширины канала

## Определяющие параметры:

$Re$  – число Рейнольдса

$\alpha$  – массовая концентрация включений

$\beta$  – параметр инерционности частиц

$Fr$  – число Фруда

$$Re = \frac{LU_0}{\nu}, \quad Fr^2 = \frac{U_0^2}{gL}, \quad \beta = \frac{6\pi\mu L}{mU_0}, \quad \alpha = \frac{mN}{\rho}$$

## Основное течение:

$$U(y) = 1 - y^2$$

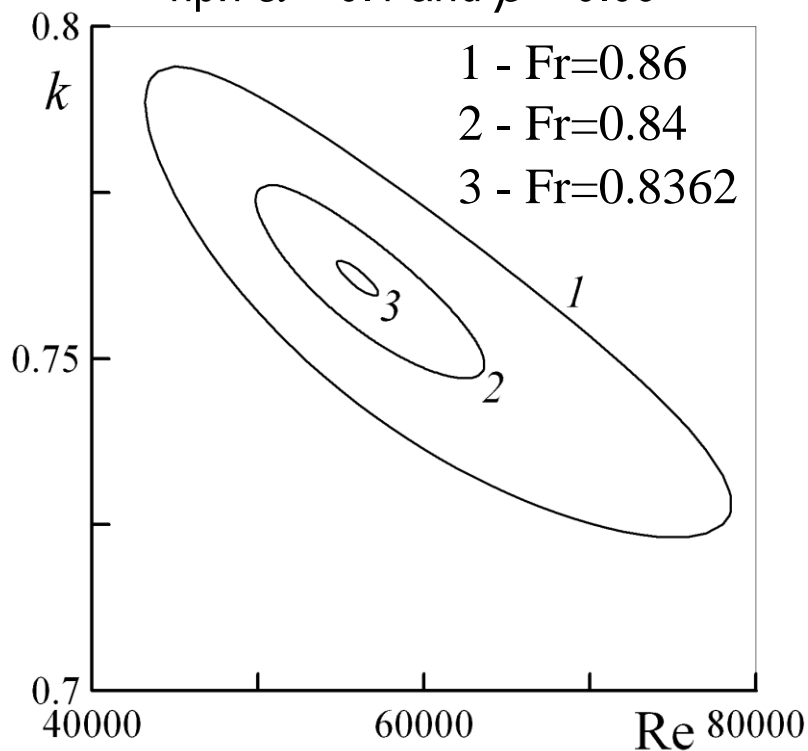
$$U_s(y) = U(y) \pm \frac{1}{Fr^2 \beta}$$

$$N(y) = 1$$

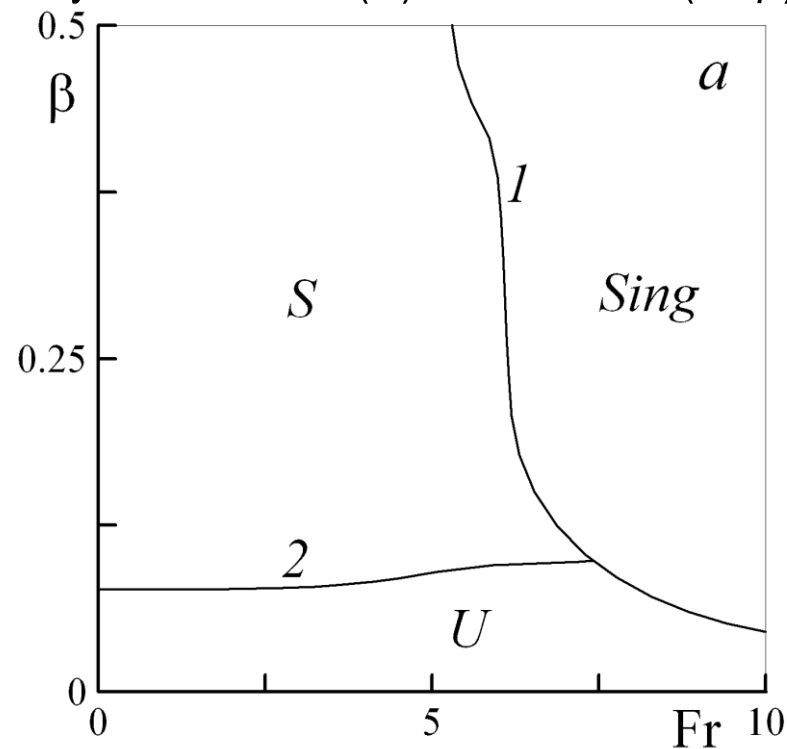


# Устойчивость течения запыленного газа в вертикальном канале: основные результаты

Кривые нейтральной устойчивости  
при  $\alpha = 0.1$  and  $\beta = 0.09$



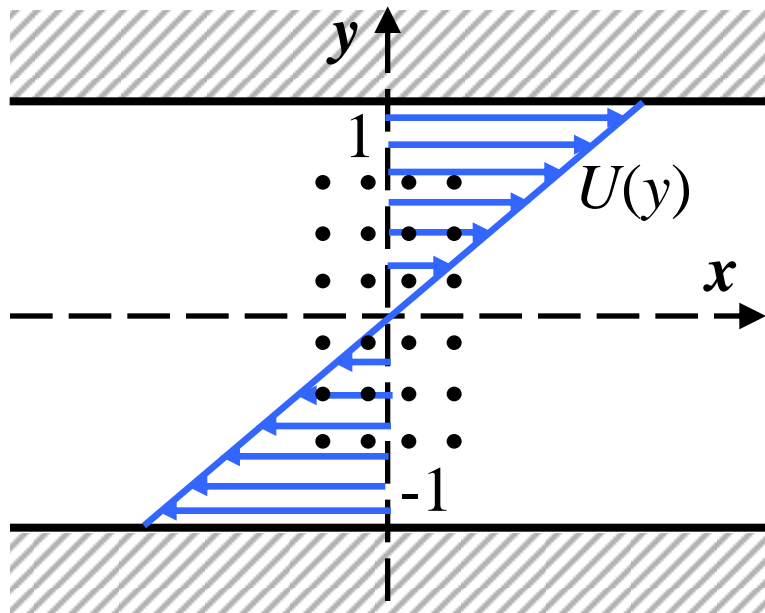
Области устойчивости ( $S$ ), и  
неустойчивости ( $U$ ) в плоскости  $(Fr, \beta)$



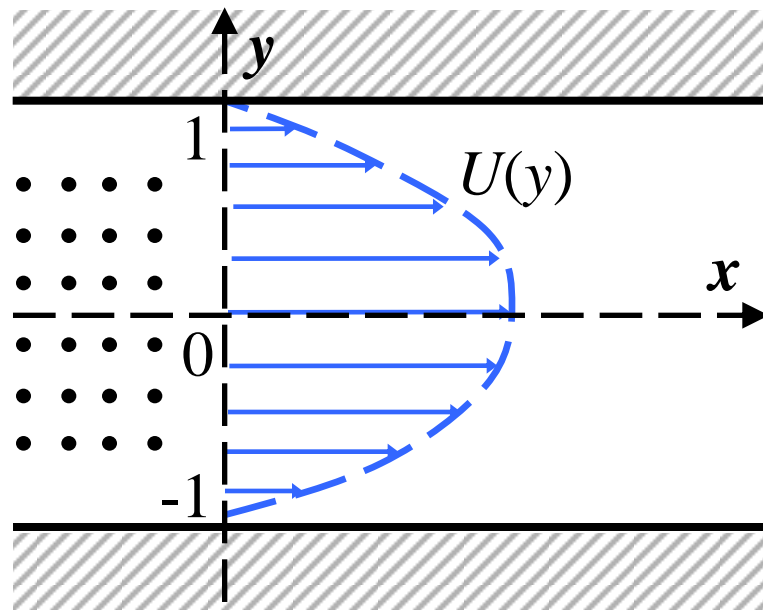
- Область неустойчивости замкнута для всех конечных значений числа Фруда  $Fr$
- Найдена область в плоскости параметров  $(Fr, \beta)$ , в которой течение запыленного газа в вертикальном канале устойчиво



# Устойчивость сдвиговых течений суспензии<sup>3,4,5</sup>



Плоское течение Куэтта суспензии



Плоское течение Пуазейля суспензии

<sup>3</sup> Боронин С.А. Исследование устойчивости течения суспензии в плоском канале с учетом конечной объемной доли частиц // Изв. РАН. МЖГ. 2008. № 6. С. 40–53.

<sup>4</sup> Боронин С.А. Гидродинамическая устойчивость стратифицированного течения суспензии в плоском канале // Доклады РАН. 2009. Т. 429. № 4. С. 477-480.

<sup>5</sup> Боронин С.А. Устойчивость плоского течения Куэтта дисперсной среды с конечной объемной долей частиц // Изв. РАН. МЖГ. 2011. N 1. С. 85-94



# Устойчивость сдвиговых течений суспензии: постановка

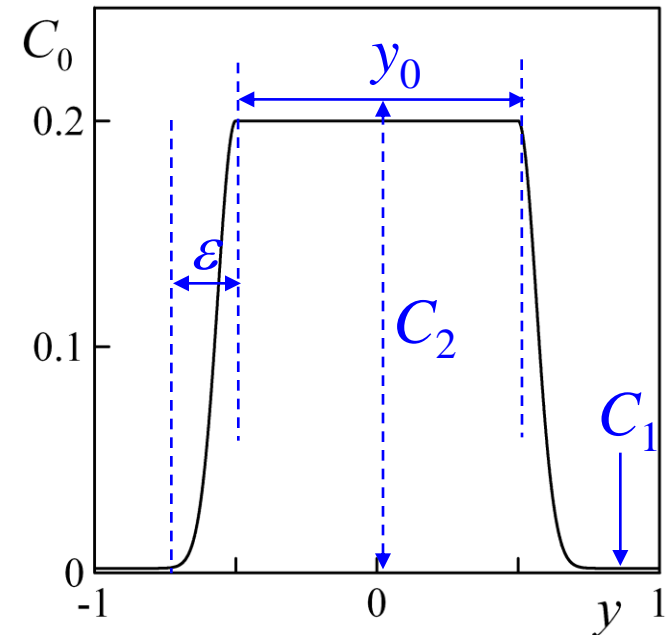
- ❑ Модель взаимопроникающих континуумов с конечной объемной долей включений
- ❑ Межфазное взаимодействие: сила Стокса с поправкой Бринкмана
- ❑ Основное течение: профили скорости Пуазейля и Куэтта без рассогласования скоростей фаз, **неоднородная концентрация частиц**

**Неоднородное распределение частиц  $C_0(y)$**   
(миграция частиц от стенок):

$$C_0(y) = \begin{cases} (C_2 - C_1) \exp\left\{-\frac{(y + y_0)^2}{\varepsilon^2}\right\} + C_1, & -1 < y < -y_0 \\ C_2, & -y_0 < y < y_0 \\ (C_2 - C_1) \exp\left\{-\frac{(y - y_0)^2}{\varepsilon^2}\right\} + C_1, & y_0 < y < 1 \end{cases}$$

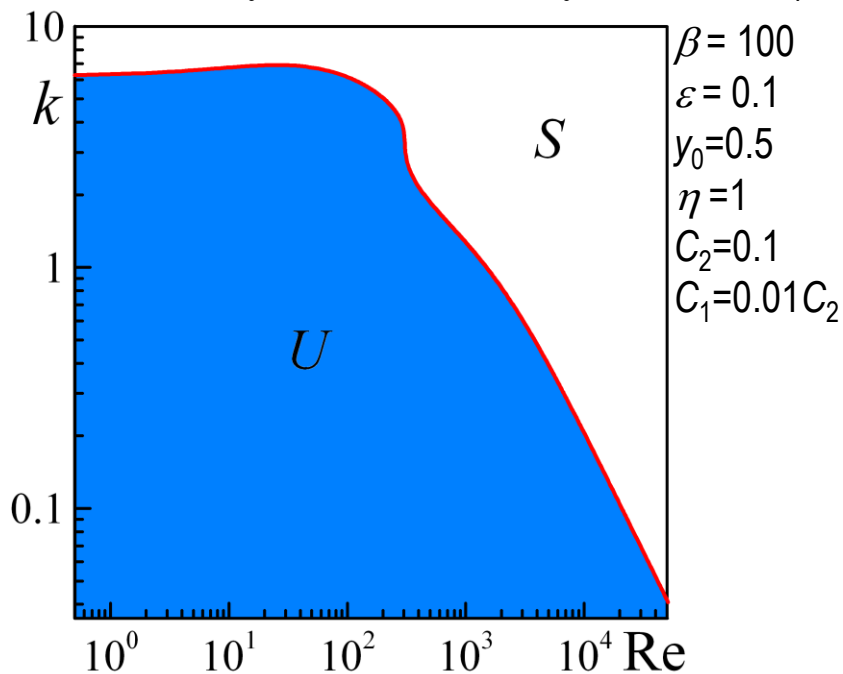
**Определяющие параметры:**

$$\text{Re} = \frac{LU_0\rho^0}{\mu_0}, \quad \beta = \frac{6\pi\sigma\mu_0 L}{mU_0}, \quad \eta = \frac{\rho_s^0}{\rho^0} \quad (\eta - \text{отношение плотностей материалов фаз})$$

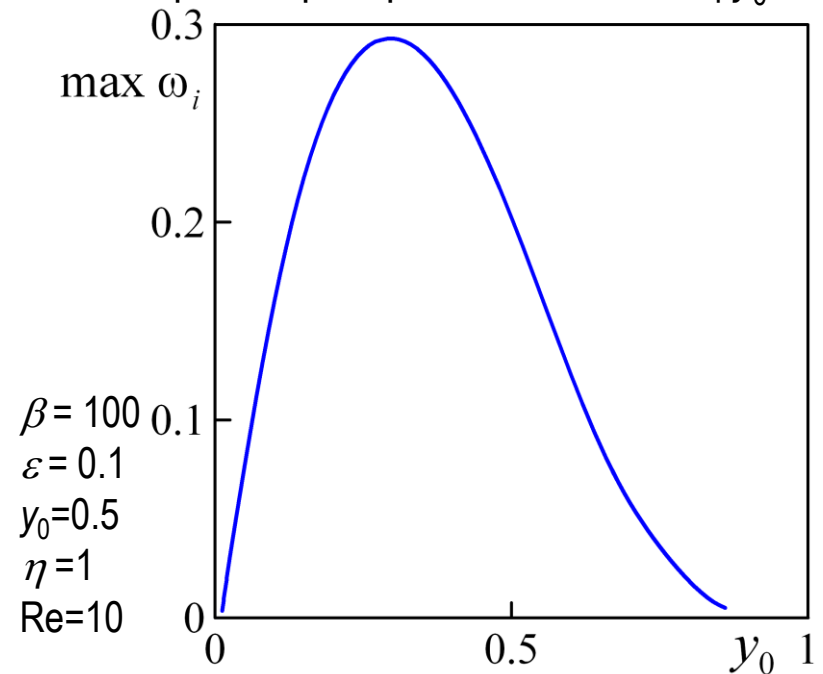


# Устойчивость сдвиговых течений суспензии: основные результаты

Области неустойчивости в плоскости  $(Re, k)$   
( $S, U$  – области устойчивости и неустойчивости)



Максимальный инкремент нарастания  $\max \omega_i(k)$   
от «ширины» распределения частиц  $y_0$



- Неоднородное распределение включений приводит к появлению неустойчивости при  $Re < 1$  для обоих типов течений
- Максимальный инкремент нарастания волн достигается при  $Re \sim 10$
- Полученная неустойчивость подавляется при увеличении  $Re$
- Неустойчивость подавляется в случае «широкого» ( $y_0 > 0.8$ ) и «узкого» ( $y_0 < 0.01$ ) распределения частиц



# Алгебраическая неустойчивость

- Метод Фурье исследования устойчивости: любое малое возмущение  $\mathbf{q}$  плоскопараллельного стационарного течения представляется в виде комбинации (ряда или интеграла) нормальных мод  $\mathbf{q}_n$ :

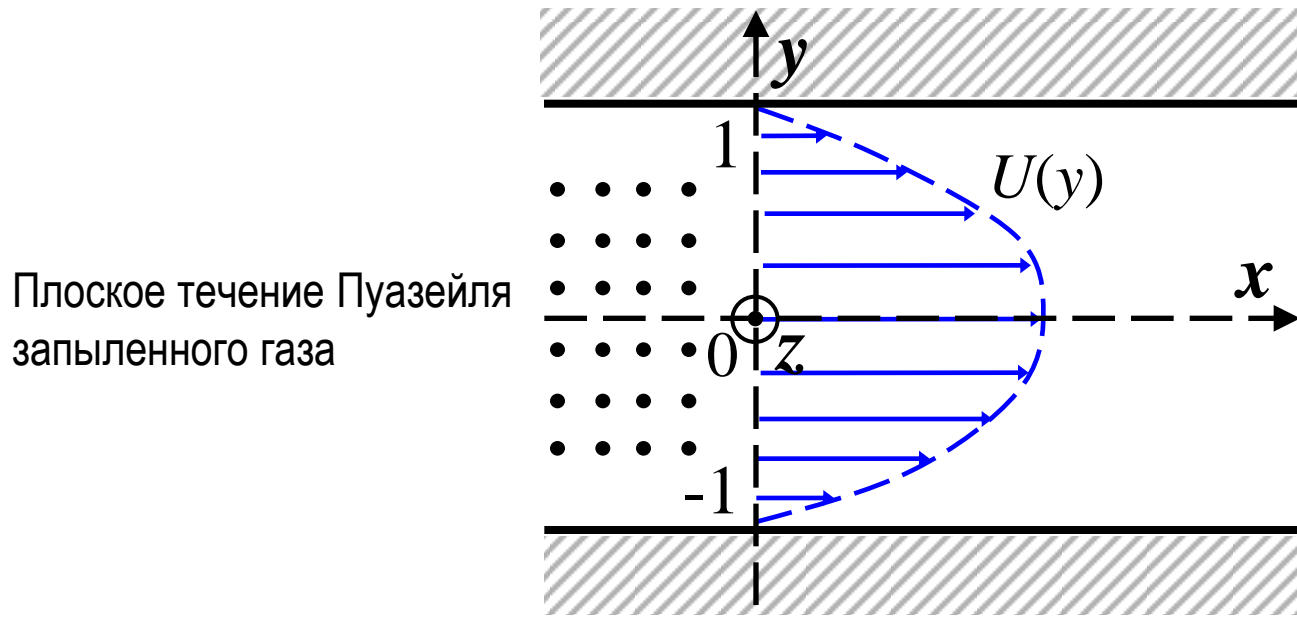
$$L\mathbf{q} = \sigma\mathbf{q}, \quad \{\tilde{\mathbf{q}}_n, \sigma_n\}, \quad \text{Re}\{\sigma_1\} > \text{Re}\{\sigma_2\} > \dots$$

$$\mathbf{q} = \sum_1^{\infty} \gamma_n \mathbf{q}_n(y) \exp\{ikx + \sigma_n t\} \quad (1)$$

- Классический метод исследования: течение устойчиво  $\Leftrightarrow$  для заданных безразмерных параметров первая мода затухает ( $\text{Re}\{\sigma_1\} < 0$ ) для любого  $k$ .
- Дифференциальный оператор  $L$  – **неэрмитов**, собственные функции неортогональны, суперпозиция мод (1) на конечном интервале времени не определяется наиболее неустойчивой гармоникой! (возможен **алгебраический рост** возмущений)
- **Оптимальное возмущение**: комбинация мод (1), энергия которой нарастает максимально к заданному конечному моменту времени

# Алгебраическая неустойчивость течения дисперсной среды в плоском канале<sup>6</sup>

- ❑ Модель запыленного газа
- ❑ Межфазное взаимодействие: сила Стокса
- ❑ Основное течение: профиль скорости Пуазейля, **неоднородная концентрация частиц**
- ❑ **Трехмерные возмущения** (теорема Сквайра – только для модального анализа!)



<sup>6</sup> Боронин С.А. Оптимальные возмущения течения запыленного газа в плоском канале с неоднородным распределением частиц //Изв. РАН. МЖГ. (подана в редакцию в июле 2011)



# Алгебраическая неустойчивость течения дисперсной среды в плоском канале: линеаризованная система уравнений

Трёхмерные нормальные моды:

$$Q(x, y, z, t) = q(y) \exp[i(k_x x + k_z z) + \sigma t]$$

$$\left\{ \begin{array}{l} \{\Delta^2 / \text{Re} - ik_x U \Delta + ik_x U'' - \alpha \beta \Delta\} v + \alpha \beta \Delta v_s - \alpha \beta I'_s = \sigma \Delta v \\ [-ik_x U + \Delta / \text{Re} - \alpha \beta] \omega + \alpha \beta \omega_s - ik_z U' v = \sigma \omega \\ -(ik_x U + \beta) v_s + \beta v = \sigma v_s \\ -(ik_x U + \beta) \omega_s - ik_z U' v_s + \beta \omega = \sigma \omega_s \\ -(ik_x U + \beta) I_s - 2ik_x U' v_s = \sigma I_s \end{array} \right.$$

$$\omega = \frac{\partial u}{\partial z} - \frac{\partial w}{\partial x}, \quad \omega_s = \frac{\partial u_s}{\partial z} - \frac{\partial w_s}{\partial x}, \quad I_s = \text{div } \mathbf{v}_s, \quad \Delta = \frac{d^2}{dy^2} - k^2, \quad k^2 = k_x^2 + k_z^2$$

Граничные условия:  $v, v', \omega|_{y=\pm 1} = 0$

Определяющие параметры:  $\text{Re} = \frac{LU_0}{\nu}, \quad \alpha = \frac{mN}{\rho}, \quad \beta = \frac{6\pi\mu L}{mU_0}$



# Алгебраическая неустойчивость течения дисперсной среды в плоском канале: профили концентрации и оптимальные возмущения

## Профили концентрации частиц в основном течении:

(пылевые слои, симметричные относительно оси канала)

$$N(y) = 0.5N_0(\delta, \varepsilon) \left( \exp \left\{ - (y - \xi)^2 / \delta^2 \right\} + \exp \left\{ - (y + \xi)^2 / \delta^2 \right\} \right)$$

$$N_0(\delta, \varepsilon): \int_{-1}^1 N(y) dy = 2 \quad (\delta - \text{ширина слоя, } \xi - \text{расстояние до оси течения})$$

$$\mathbf{q} = \sum_{n=1}^{\infty} \gamma_n \mathbf{q}_n(y) \exp \{ i(k_x x + k_z z) + \sigma_n t \}, \quad \mathbf{q}_n = (v_n, \omega_n, v_{s,n}, \omega_{s,n}, I_{s,n})^T$$

**Функционал энергии  $E(t, \gamma)$ :** плотность кинетической энергии возмущений несущей фазы

$$E(t, \gamma) = \int_0^a \int_0^b \int_{-1}^1 (\text{Real}\{u\}^2 + \text{Real}\{v\}^2 + \text{Real}\{w\}^2) dx dy dz = \frac{1}{8} \int_{-1}^1 \left( v^* v + \frac{1}{k^2} \left\{ \frac{dv^*}{dy} \frac{dv}{dy} + \omega^* \omega \right\} \right) dy$$

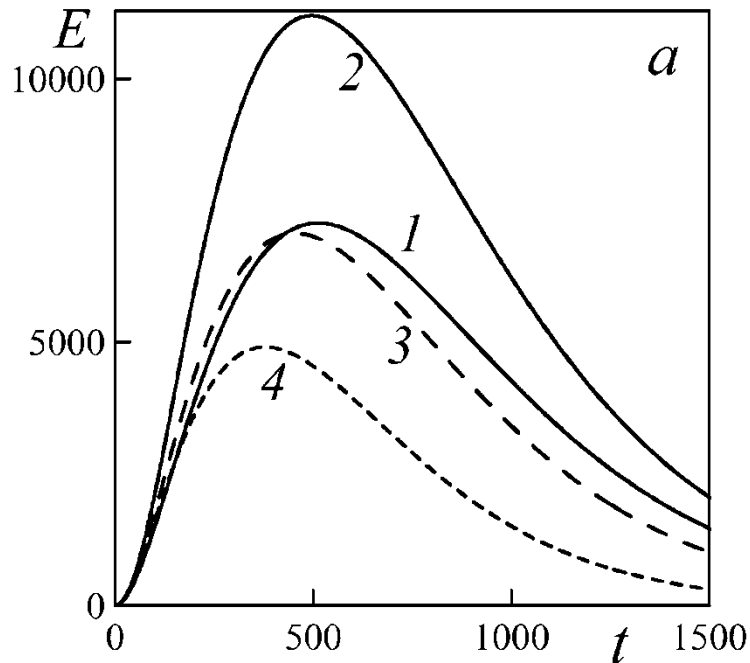
$$a = 2\pi / k_x, \quad b = 2\pi / k_z \quad ({}^* - \text{комплексное сопряжение})$$

**Поиск оптимальных возмущений** = максимизация функционала энергии

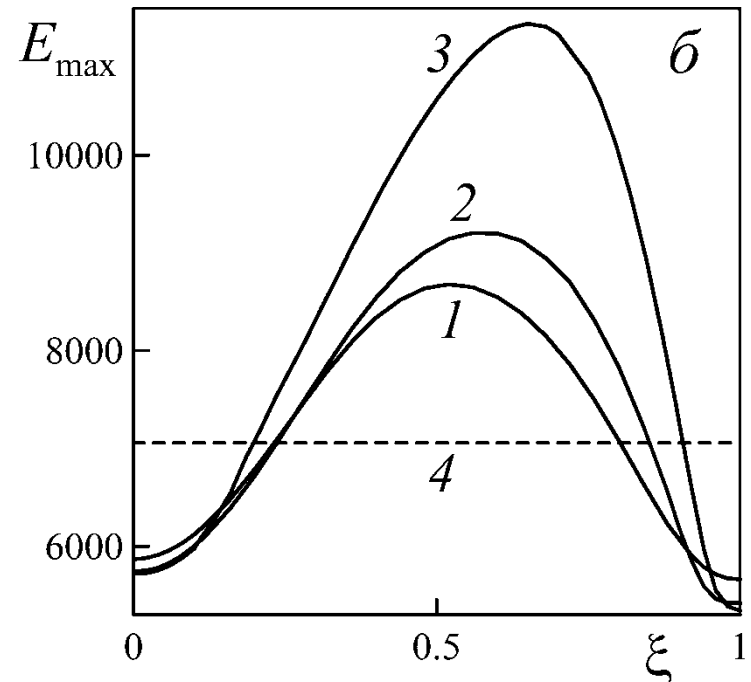
$$\gamma - ? : E(t, \gamma) \rightarrow \max_{\gamma}, \quad E(0, \gamma) = 1$$



# Алгебраическая неустойчивость течения дисперсной среды в плоском канале: основные результаты



Зависимость энергии оптимальных возмущений  $E$  от времени. Кривые 1, 2 соответствуют  $\xi = 0.25, 0.65$ , а 3 – однородное распределение частиц, 4 – чистая жидкость.  $k_x = 0, k_z = 2.044, \text{Re} = 5000, \alpha = 0.2, \beta = 10, \delta = 0.02$

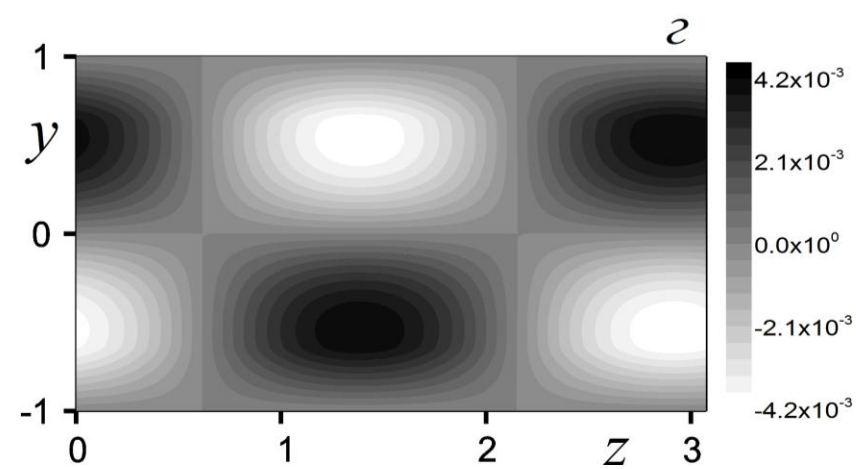
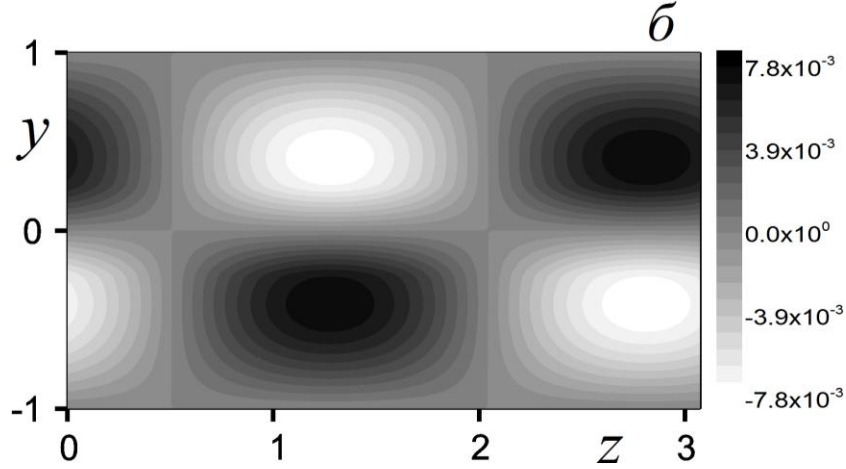
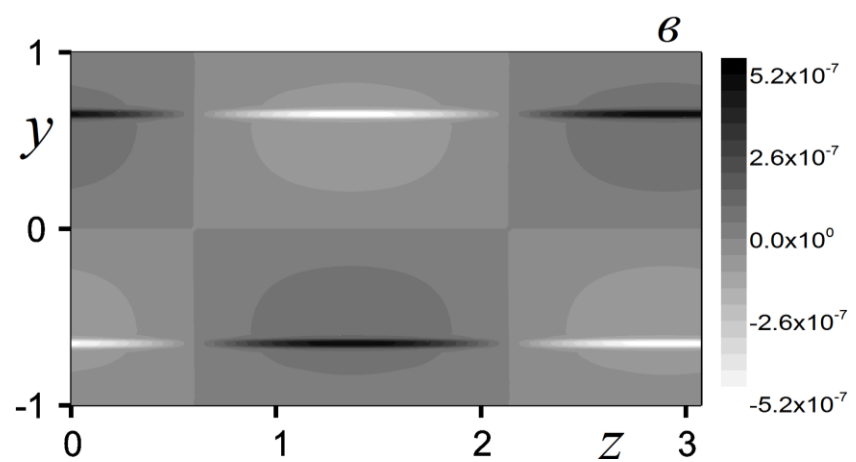
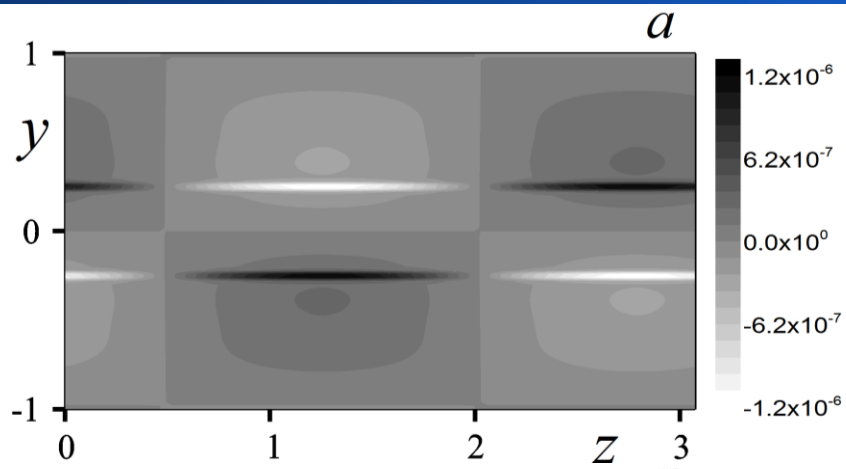


Максимум энергии оптимальных возмущений  $E_{\max}$  от положения слоев дисперсной фазы  $\xi$  при  $\alpha = 0.2$ . Кривые 1-3 соответствуют  $\delta = 0.1, 0.05, 0.02$ . Кривая 4 – однородное распределение частиц ( $\delta \gg 1$ ).  $k_x = 0, k_z = 2.044, \text{Re} = 5000, \beta = 10$ .

- Оптимальные возмущения – полосчатые структуры («стрики»,  $k_x=0, k_z \sim 2$ )
- Энергия оптимальных возмущений усиливается при добавлении дисперсной примеси
- Наибольшая энергия возмущений достигается для случая, когда пылевые слои расположены посередине между осью течения и стенками ( $\xi \sim 0.5$ )



# Алгебраическая неустойчивость течения дисперсной среды в плоском канале: основные результаты



Распределение продольной компоненты скорости оптимальных возмущений несущей фазы  $u$  в плоскости  $(y, z)$  при  $t = 0$  ( $a, b$ ) и в момент достижения максимума плотности энергии ( $b, z$ ). Фигуры ( $a, b$ ) соответствуют  $\xi = 0.25$ , а ( $b, z$ ) –  $\xi = 0.65$ .  $k_x = 0, k_z = 2.044, Re = 5000, \alpha = 0.2, \beta = 10, \delta = 0.02$ .

- Максимум продольной компоненты скорости (и кинетической энергии) оптимальных начальных возмущений соответствует положению пылевых слоев



# Выводы

- В рамках классического модального подхода проанализирована устойчивость различных сдвиговых течений дисперсных сред и изучено влияние новых факторов (неоднородности распределения дисперсной фазы и рассогласования скоростей фаз в основном течении, нестоксовских компонент межфазной силы, конечной объемной доли частиц)
  - Течение запыленного газа в пограничном слое стабилизируется при увеличении концентрации дисперсной фазы по направлению к стенке; подъемная сила существенно стабилизирует течение для частиц с длиной релаксации порядка локальной толщины пограничного слоя;
  - Рассогласование скоростей фаз, вызванное гравитационным осаждением частиц при течении газа в вертикальном канале, значительно стабилизирует течение. Начиная с некоторого значения числа Фруда, течение дисперсной среды устойчиво при любом значении числа Рейнольдса;
  - Неоднородное распределение включений, обладающих малой, но конечной объемной долей, приводит к появлению нового механизма неустойчивости, который появляется уже при малых значениях числа Рейнольдса сдвиговых течений суспензий.
- Впервые исследована алгебраическая (немодальная) неустойчивость плоско-параллельного течения дисперсной среды с неоднородным распределением частиц (в виде пылевых слоев).
  - Получено, что оптимальные возмущения являются полосчатыми структурами («стриками»), обладающими большей кинетической энергией, чем в случае течения чистой жидкости;
  - Для заданной средней массовой концентрации частиц, оптимальные возмущения обладают наибольшей энергией в случае, когда частицы распределены в области посередине между осью течения и стенками;
  - Максимум энергии оптимальных начальных возмущений соответствует положению слоев частиц.

**Спасибо за внимание!**